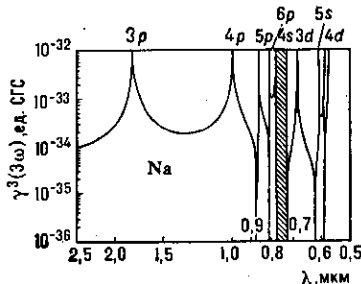


частот ω_1 и ω_2 обусловлены малоинерционными (напр., электронными) механизмами нелинейного отклика. Для грубой оценки спектральной компоненты $\chi^{(3)}(\omega)$, связанной с нерезонансным электронным откликом конденсированных сред, можно полагать [ср. с (14)] $\chi^{(3)}(\omega) \sim E_a^{-2}$. Оценка $\chi^{(3)}(\omega) \approx 10^{-13} - 10^{-14}$ СГС близка к значениям, измеряемым в оптически прозрачных жидкостях и диэлектриках.

Поскольку $\chi^{(3)}$ отлична от нуля в газах, в её поведении гораздо сильнее, чем в $\chi^{(2)}$, проявляются индивидуальные свойства атомов и молекул. Особенно ярко они выражены в резонансных свойствах $\chi^{(3)}$ (для разреженного газа $\chi^{(3)} = N\gamma^{(3)}$). На рис. 2 приведены теоретич. график дисперсии $\gamma^{(3)}$ и диаграмма энергетич. уровней для атома Na. Отчётливо видны сильные возрастания кубич. восприимчивости вблизи резонансов.

Рис. 2. Теоретические значения кубичной гиперполяризуемости $\chi^{(3)}(\omega)$ атома Na, ответственной за генерацию третьей гармоники в зависимости от длины волнны основного излучения λ .



Четырёхчастотные нелинейные взаимодействия на кубичной нелинейности приводят не только к генерации волн на новых частотах, но и к возникновению волн нелинейной поляризации на частотах исходных волн:

$$\omega_i = \omega_i + \omega_i - \omega_i; \quad \omega_i = \omega_i + \omega_j - \omega_j;$$

$$P_{\text{нл}}(\omega_i) = \chi^{(3)}(\omega_i)E(\omega_i)E(\omega_i)E^*(\omega_i);$$

$$P_{\text{нл}}(\omega_i) = \chi^{(3)}(\omega_i)E(\omega_i)E(\omega_j)E^*(\omega_j).$$

В результате такого самовоздействия, или кросимодуляции, возникает нелинейная добавка n_2 к показателю преломления для волны частоты ω_i .

Полный показатель преломления кубичной среды

$$n = n_0 + n_2 I; \quad n_2 \sim \chi^{(3)}(\omega). \quad (17)$$

Если выразить n_2 в [$\text{см}^2/\text{кВт}$], то

$$n_2 [\text{см}^2/\text{кВт}] = (2\pi/n_0)^2 \chi^{(3)}(\omega) \text{ СГС}.$$

Обусловленная быстрым нерезонансным откликом оптич. электронов нелинейная добавка n_2 относительно невелика. Полагая $\chi^{(3)}(\omega) \approx 10^{-14}$ СГС, имеем $n_2 \approx 10^{-13} \text{ см}^2/\text{кВт}$; таковы прибл. значения n_2 для мн. кристаллов и жидкостей. В таком случае даже для интенсивностей, близких к пробойным, $I \approx I_{\text{пр}}$, $\Delta n = n_2 I_{\text{пр}} \ll n_0$.

Имеется много других, хотя и более инерционных, механизмов, приводящих к существенно более сильной нелинейности показателя преломления. К ним относятся резонансные нелинейности в полупроводниках (экситонные резонансы в двумерных структурах), фототефрактивный эффект в неорганич. кристаллах, ориентация анизотропных молекул в световом поле и оптич. нагрев среды. Диапазон значений нелинейного параметра n_2 превышает десять порядков (рис. 3). Несмотря на существ. различие физ. механизмов нелинейности, многочисл. данные неплохо укладываются на прямые $n_2 \sim \tau_{\text{нл}}$; возрастание величины n_2 сопровождается увеличением инерционности отклика.

К ориентаци. механизмам в жидк. кристаллах, при водящим к $n_2 > 0,1 \text{ см}^2/\text{кВт}$, с полным основанием применим термин «гигантские оптич. нелинейности».



Рис. 3. Значения нелинейного коэффициента n_2 для оптических материалов на плоскости $n_2, \tau_{\text{нл}}$.

Высшие нелинейности. Квадратичная и кубичная нелинейности доминируют в подавляющем большинстве практически важных случаев. Нелинейности более высокого порядка быстро убывают с номером n , $\chi^{(n)} \sim E_a^{-(n-1)}$ (под E_a следует понимать нек-рое эффективное поле, различное для разных механизмов нелинейности).

В кристаллах в поле интенсивных сверхкоротких импульсов зарегистрированы эффекты, обусловленные быстрыми (электронными) нелинейностями $P_{\text{нл}}^{(4)} \sim \chi^{(4)} E^4$ и $P_{\text{нл}}^{(5)} \sim \chi^{(5)} E^5$. В атомарных газах при интенсивностях $I \sim 10^{11} \text{ Вт}/\text{см}^2$ измерены нелинейные эффекты, обусловленные $P_{\text{нл}}^{(9)} \sim \chi^{(9)} E^9$.

Нелинейный отклик в сверхсильных полях. В сверхсильных световых полях ($E \gtrsim E_a$) описание нелинейного отклика, базирующееся на методе возмущений, расположении нелинейной поляризации в ряд по степенным полия, теряет силу; в значит. мере утрачивает смысл и понятие нелинейной восприимчивости. В экспериментах по генерации оптич. гармоник в атомах инертных газов при интенсивностях $I \sim 10^{14} - 10^{15} \text{ Вт}/\text{см}^2$ были зарегистрированы нечетные гармоники вплоть до 21-й. Теоретическая интерпретация эффекта базируется на численном анализе нелинейного отклика одноэлектронного атома, никак не связанном с методом возмущений.

3. Волновая нелинейная оптика. Управление продольными и поперечными взаимодействиями волн

Распространение световых волн в слабонелинейной среде описывается неоднородным волновым уравнением

$$\left[\nabla[\nabla E] \right] + \frac{1}{c^2} \frac{\partial^2 E}{\partial t^2} + \frac{4\pi}{c^2} \frac{\partial^2 P_{\text{нл}}}{\partial t^2} = - \frac{4\pi}{c^2} \frac{\partial^2 P_{\text{нл}}}{\partial t^2}, \quad (18)$$

где внеш. силой является волна нелинейной поляризации $P_{\text{нл}}(r, t)$. Последняя возбуждает вынужденную эл.-магн. волну, имеющую те же частоту и волновой вектор, что и волны нелинейной поляризации. Интерференция вынужденных волн со свободными волнами среды определяет динамику развития нелинейного волнового процесса во времени и в пространстве. Поскольку характер интерференции свободных и вынужденных волн существенно зависит от дисперсии среды, дисперсионные параметры решающим образом влияют на формирование нелинейных волн. В электродинамике сильнодиспергирующих слабонелинейных сред принято выделять нелинейные взаимодействия с волнами с разл. частотами и волновыми векторами и с самовоз действием волн, обусловленные зависимостью комплексного показателя преломления от интенсивности.